

**Japygoidea (Diplura) du Sud-Est asiatique n° 8: Indonésie (Java, Bali), Singapour et Brunei - *Dicellurata Genavensia* XXIII -**

Jean PAGÉS<sup>1</sup>

51, rue du Faubourg Saint-Martin, F-21121 Fontaine-lès-Dijon, France.

**Japygoidea (Diplura) from South-East Asia n° 8: Indonesia (Java, Bali), Singapore and Brunei - *Dicellurata Genavensia* XXIII.** - In this note are studied 14 specimens of Parajapygidae collected in 1987 and 1988. *Parajapyx (Grassjapyx) sabahnus* Pgs, formerly described from Sabah (Malaysia), exists in Singapore where it may have been imported. Three new species are recognized: *P. (Parajapyx) hauseri* n. sp., *P. (Grassjapyx) temburong* n. sp. from Brunei, and *P. (Grassjapyx) reniformis* n. sp. from Java and Bali. One specimen from Teraja (Brunei) shows a mixture of characters which hinders me to describe it as a n. sp. until further specimens will be collected in the same area. New nomenclature and definition of the different instars of ♂ and ♀ are proposed. The subgeneric position of *Parajapyx hwaschanensis* Chou, *Parajapyx yangi* Chou and *Parajapyx jinghongensis* Xie & Yang is precised. The possibility for *Parajapyx paucidentis* Xie *et al.* to be an anomaly or a casual mutation of *Parajapyx (Parajapyx) isabellae* (Grassi) is discussed.

**Key-words:** Diplura - Parajapygidae - Indonesia - Singapore - Brunei - Taxonomy - New species - Instars.

## INTRODUCTION

Au cours de ses missions entomologiques dans le Sud-Est asiatique, l'équipe du Département des Arthropodes et d'Entomologie I du Muséum d'histoire naturelle de Genève (B. Hauser et C. Lienhard), a recueilli 14 représentants de la famille des Parajapygidae. Cette famille cosmopolite n'était connue de ces régions que par les *Parajapyx (Grassjapyx) sepilok* et *P. (G.) sabahnus* que j'ai décrit du Sabah (Malaysia) (PAGÉS 1987).

A ma connaissance, douze autres taxons peuvent être cités d'Asie et des îles du Pacifique. L'espèce cosmopolite, *Parajapyx (P.) isabellae* (Grassi) a été signalée de Chine, du Japon et des Îles Hawaï (SILVESTRI 1928, CHOU 1966, ZWALUWENBURG 1934, ZIMMERMAN 1948).

<sup>1</sup> Professeur émérite de l'Université de Bourgogne, Equipe d'Ecologie et Dynamique des Populations, F-21100 Dijon.

Manuscrit accepté le 01.07.1998

L'énigmatique *P. (G.) grassianus* var. *indica* Silv. du Sikkim (SILVESTRI 1913) est l'unique Parajapygidé signalé de la région indienne. D'Australie, WOMERSLEY (1934, 1945) a fait connaître *P. (P.) swani* Wom. d'Australie occidentale et *P. (G.) queenslandica* Wom. du Queensland; enfin, des îles du Pacifique, on peut citer, outre l'ubiquiste *Parajapyx (P.) isabellae* (Grassi) des Îles Hawaï, une ♀ d'un *Parajapyx (Grassjapx)* sp. des Îles Mariannes du Nord (NAKAMURA 1994) et *P. (G.) samoanus* Silv. de l'archipel des Samoa (SILVESTRI 1930).

De Chine, 5 espèces et une "var." ont été décrites: *Parajapyx (P.) emeryanus* Silv. et sa "var." *centralis* Silv. (SILVESTRI 1928. CHOU 1966); *Parajapyx hwasshanensis* Chou du Shensi et *Parajapyx yangi* Chou de Pékin (CHOU 1966), ainsi que *Parajapyx jinghongensis* Xie & Yang du Yunnan (XIE & YANG 1990) ont été décrits sans indication de sous-genre; il me semble que les marges internes des cerques figurés justifient leur attribution au sous-genre *Grassjapx* Pgs: *Parajapyx (Grassjapx) hwasshanensis* Chou, *Parajapyx (Grassjapx) yangi* Chou, *Parajapyx (Grassjapx) jinghongensis* Xie & Yang.

Quant au *Parajapyx paucidentis* décrit récemment par XIE *et al.* (1990) du Zhejiang, je ne crois pas que l'on puisse le considérer comme une espèce valable, mais vraisemblablement plutôt comme une aberration ou une mutation accidentelle ou non de *P. (P.) isabellae* (Grassi) dont il semble posséder les antennes, la chétotaxie générale et surtout les organes subcoxaux latéraux. En effet, pratiquement tous les stades de régression de l'armature de la marge interne des cerques dans le groupe *isabellae* ont été décrits. Le premier exemple est peut-être celui du *Parajapyx (P.) isabellae*, variant IV d'El Golea (Maroc) (PAGÉS 1954) dont la  $d_1$  droite n'est plus qu'un minuscule denticule, le reste de la marge étant normal<sup>2</sup>. Le cas le moins atypique de dégradation de la marge interne est celui que j'ai signalé (1952b) chez un *Parajapyx (P.) normandi* Pgs. de Tunisie dont le cerque droit montre des dents mal formées, peu saillantes, mais encore reconnaissables. On peut citer ensuite l'exemplaire de *Parajapyx (P.) isabellae* (Grassi) figuré par SILVESTRI (1948a) chez lequel on ne distingue plus que quelques minuscules denticules à peine visibles. *Parajapyx (= Hemijapx) unidentatus* Ewing de l'Alabama ne montrerait plus que la  $d_1$ , le reste des marges étant totalement lisse (EWING 1941). *P. paucidentis* pourrait être considéré comme le stade ultime de la régression, les marges ne présentant plus qu'un minuscule denticule près de l'apex des cerques ne correspondant à aucune des dents normales.

Des régressions semblables ont été signalées par SILVESTRI (1948a) d'une part chez un autre Parajapygidé, *P. (G.) grassianus* Silv. d'Amérique du Nord, dont les cerques sont dépourvus de toutes dents, mais avec 2 minuscules denticules près de l'apex; c'est le même type d'anomalie que présente *paucidentis*, mais dans l'autre sous-genre; d'autre part chez un *Japx solifugus* Hal. d'Italie dont la marge interne du cerque droit est complètement dépourvue d'armature. Il me semble inutile de nommer

<sup>2</sup> La fig. 6 représentant cette anomalie a été attribuée par erreur à un variant IV d'In Salah.

de telles anomalies à moins que la même station ne fournisse, au fil des années, que de ces individus apparemment "hors normes".

C'est pourquoi la synonymie *Parajapyx paucidentis* Xie et al. = *Parajapyx (Parajapyx) isabellae* (Grassi) ne peut être établie avec certitude actuellement.

Dans cette note, je répartis les 14 spécimens de Parajapygides récoltés en 1987 à Java et Bali (Indonésie) et en 1988 à Singapour et au Brunei entre 4 espèces dont 3 inédites: *Parajapyx (P.) hauseri* n. sp. et *Parajapyx (G.) temburong* n. sp. du Brunei, *Parajapyx (G.) reniformis* n. sp. de Java et Bali et *Parajapyx (G.) sabahmus* Pgs de Singapour; enfin un spécimen de Teraja au Brunei présente des caractères ambigus et trop peu nets qui ne me semblent pas permettre pour l'instant une détermination précise.

La découverte chez *Parajapyx (P.) hauseri* n. sp. d'un nouveau stade du développement postembryonnaire des ♂, de celle du plus jeune stade ♀ connu et chez *Parajapyx (G.) reniformis* n. sp. du stade ♀ le plus âgé me font proposer une nouvelle nomenclature des stades pour les deux sexes.

Tous les spécimens étudiés dans ce travail sont conservés dans les collections du Muséum d'histoire naturelle de Genève.

## DESCRIPTION DES ESPÈCES

On trouvera la description des chétotaxies typiques, la définition des rapports et des abréviations utilisés dans PAGÉS 1952a, 1952b et 1954. La nouvelle numérotation des stades du développement postembryonnaire des ♂ et des ♀ est exposée ci-après.

### *Parajapyx (Parajapyx) hauseri* n. sp.

Figs 1-18

Matériel étudié<sup>3</sup>: Bru-88/24: BRUNEI (Brunei-Muara District): "Berakas Forest Reserve" au nord de Bandar Seri Begawan sur la route, à 19,5 km de Muara (= à 102,5 km de Muala Belait), forêt "Kerangas" (= "Tropical heath forest"), prélèvement de sol au pied de *Casuarina nobilis* Whitmore (Casuarinaceae), 30 m; 20.XI.1988; leg. B. Hauser (B<sub>2</sub>); **holotype**: ♂<sub>4n</sub> de 2,14 mm; **paratypes**: 1 ♂<sub>3n</sub> de 1,94 mm, 1 ♂<sub>2n</sub> de 1,66 mm, 1 ♀ st. I de 1,55 mm, 1 ♀ de 2,02 mm, 1 ♀ st.4 de 2,22 mm, 1 sexe? (urites 8 à 10 et les cerques absents).

#### TÊTE

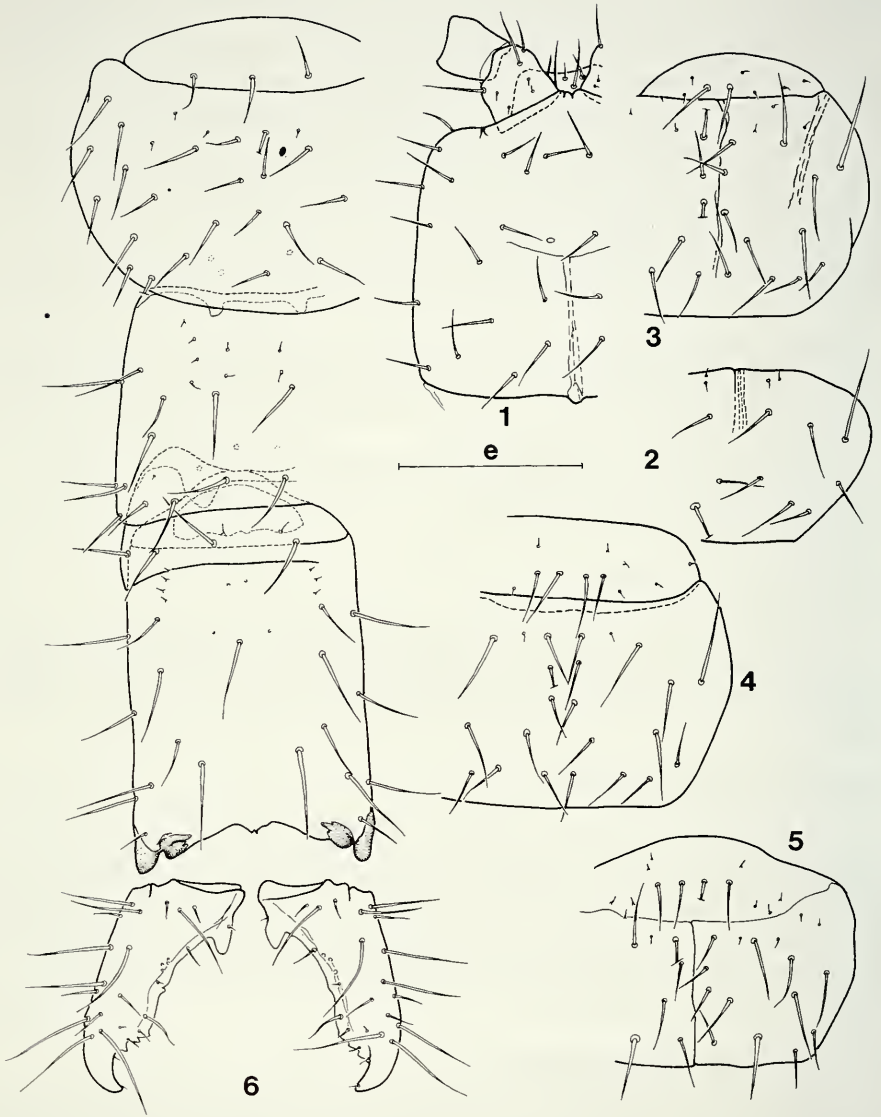
**V e r t e x** : chétotaxie typique.

**P l i o r a l** : sans la soie 4.

**A n t e n n e s** : de 18 articles assez pileux, pas d'aires pileuses différenciées; sensilles recourbées présentes à partir du 5e article; 4 sensilles placoides en position typique sur l'article apical.

**P i è c e s b u c c a l e s** : typiques du genre.

<sup>3</sup> Basé sur les listes établies par le Dr B. Hauser pour les stations de récolte des missions de 1987 et 1988 en Insulinde. Les spécimens ont été capturés soit directement à vue, soit après traitement des prélèvements par entonnoir Berlese, soit à Bogor (Java) (B<sub>1</sub>), à Bandar Seri Begawan (Brunei) (B<sub>2</sub>), Hong Kong (B<sub>3</sub>) ou à Genève (B<sub>4</sub>).



FIGS 1-6

*Parajapyx (Parajapyx) hauseri* n. sp., ♂ holotype. - 1. Vertex, e = 105  $\mu$ m. - 2. Pronotum, e = 105  $\mu$ m. - 3. Mésonotum, e = 105  $\mu$ m. - 4. Métanotum, e = 105  $\mu$ m. - 5. Tergite 1, e = 105  $\mu$ m. - 6. Tergites 7 à 10 et les cerques, e = 105  $\mu$ m.

## THORAX

*Face tergale*

**P r o n o t u m** : les 5+5  $M$  typiques,  $M_3$  près de 2 fois aussi longs que les autres  $M$  qui sont subégaux;  $s_1$  nulles.

**M é s o n o t u m** : Préscutum: 1+1  $M$  assez longs. Scutum: les 5+5  $M$  typiques, les  $M_3$  les plus longs, les  $M_5$  les plus courts, les 5+5  $s$  typiques assez courtes, 1+1 soies supplémentaires entre  $s_1$  et  $s_2$  et 1+1 autres entre  $s_4$  et  $s_5$ .

**M é t a n o t u m** : Préscutum: 2+2  $M$  assez longs. Scutum:  $M$ ,  $s$  et soies supplémentaires comme au mésonotum.

*Face sternale*

Par rapport à la chétotaxie de *P. (P.) isabellae* (Grassi) prise comme type (PAGÉS 1952a), les seules variations rencontrées sont la présence d'une soie supplémentaire au présternite du mésosternum ou l'absence de la soie médiane typique à celui du métasternum.

**P a t t e s** : peu pileuses; tarsi avec 2+2 soies sternales dont les 2 distales sont aiguës, dépassant de peu l'apex de la griffe postérieure; celle-ci est à peine plus longue que l'antérieure; unguiculus minuscule, aigu.

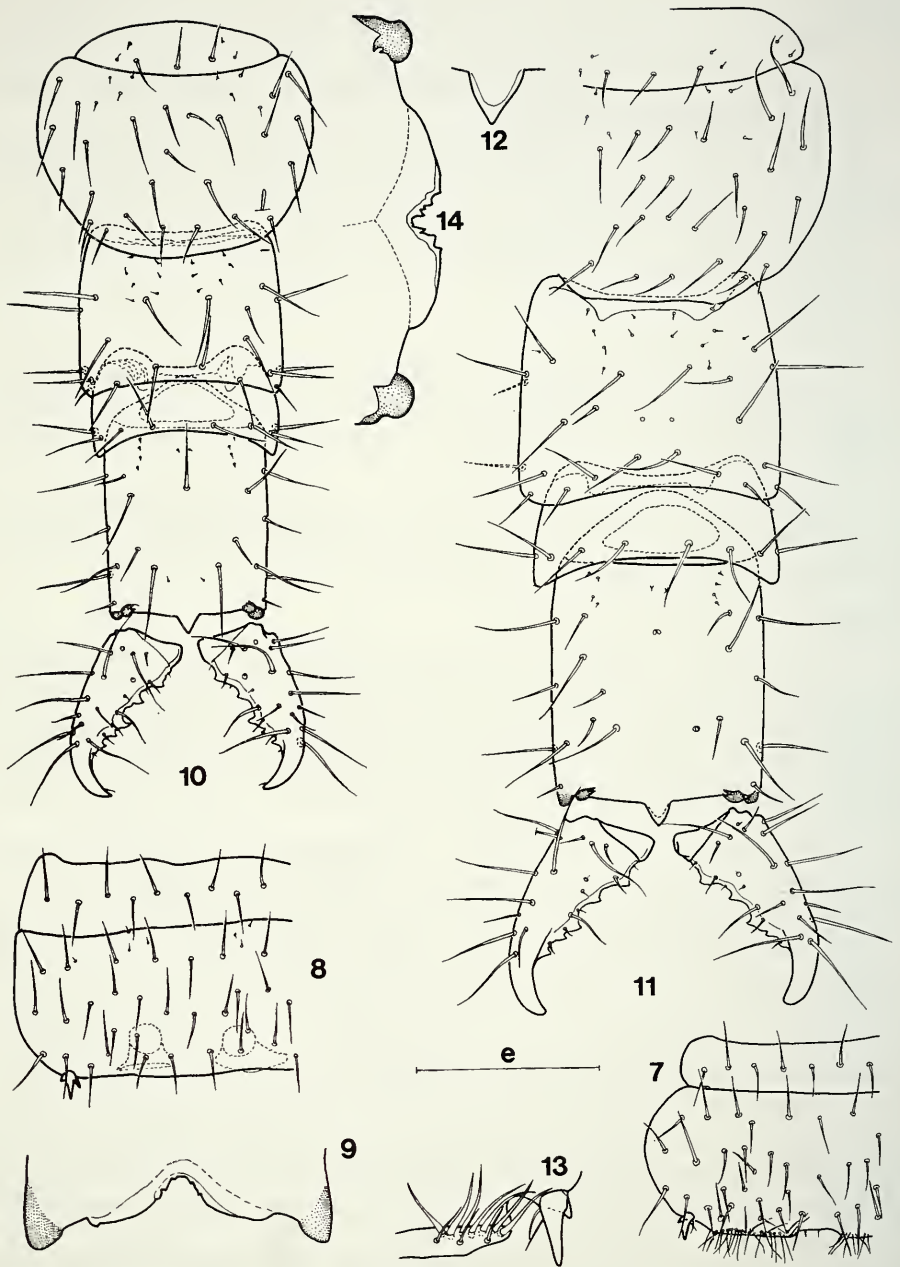
## ABDOMEN

**T e r g i t e 1** : Préscutum: 2+2 soies assez longues et environ 5+5 microsoies. Scutum: les 5+5  $M$  typiques, les  $M_4$  les plus longs, 2 fois aussi développés que les  $M_5$  qui sont les plus courts de tous; les 6+6  $s$  typiques assez courtes, sauf les  $s_5$  qui sont longues; on note sur certains spécimens, sans que le sexe ou le stade de développement soit en cause, l'absence d'une des  $s_3$  et/ou la présence d'une soie supplémentaire entre  $M_3$  et  $s_6$ .

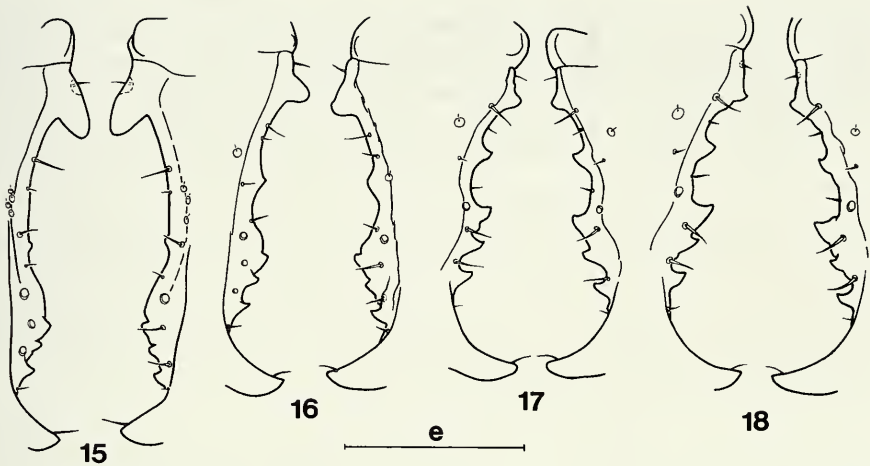
**T e r g i t e s 2 à 7** : Préscutum: 1+1+1  $M$  typiques; le ♂ holotype présente 2+2  $M$  sur le préscutum du tergite 6. Scutum: les 8+8  $M$  typiques longs, les  $M_2$  et  $M_3$  les plus développés; les 7+7  $s$  peuvent être présentes, l'une d'entre elles peut cependant manquer d'un côté ou de l'autre comme cela semble être la norme chez les espèces du genre; la ♀ st.1 qui ne montre qu'une seule et unique paire de soies sur la papille génitale, n'est pourvue sur ces tergites que des seules  $s_1, s_5-s_7$ , de la  $s_2$  gauche et d'une soie supplémentaire près de la  $s_7$  gauche; cette soie supplémentaire peut être présente chez les individus plus âgés, ainsi que deux autres entre  $M_1$  et  $s_4$  ou  $M_7$  et  $s_6$ .

**T e r g i t e 8** : un peu moins de 1,25 fois aussi large que long ( $l/L = 1,25$  chez le ♂ holotype, 1,22 chez la ♀ st.1, 1,16 chez la ♀ st.4); 7+7  $M$  subégaux longs, ceux de la moitié postérieure du segment légèrement plus courts que ceux de la moitié antérieure; 4+4  $s$  ( $s_1$  nulles) chez les ♂ et la ♀ st.4, seules  $s_3$  et  $s_5$  sont présentes chez la ♀ st.1.

**T e r g i t e 9** :  $l/L = 2,24$  en moyenne (2,25 chez l'holotype, 2,07 chez la ♀ st.1, 2,48 chez la ♀ st.4); les 3+3  $M$  typiques longs; aucune  $s$  chez le ♂ holotype; chez les autres spécimens, seules les  $s_1$  sont présentes si l'on admet que cette paire de phanères est venue se placer entre  $M_1$  et  $M_2$ .



FIGS 7-14. *Parajapyx (Parajapyx) hauseri* n. sp., ♂ holotype. - 7. Urosternite 1,  $e = 105 \mu\text{m}$ . - 8. Urosternite 3,  $e = 105 \mu\text{m}$ . - 9. Hypopyge,  $e = 84 \mu\text{m}$ . - 10. ♀ st.1, tergites 7 à 10 et les cerques,  $e = 105 \mu\text{m}$ . - 11. ♀ st.3, tergites 7 à 10 et les cerques,  $e = 105 \mu\text{m}$ . - 12. idem, acropoyge,  $e = 51 \mu\text{m}$ . - 13. idem, angle externe de l'organe subcoxal gauche et style,  $e = 42 \mu\text{m}$ . - 14. idem, hypopyge,  $e = 51 \mu\text{m}$ .



FIGS 15-18

*Parajapyx (Parajapyx) hauseri* n. sp., évolution de l'armature de la marge interne des cerques suivant le sexe et le stade de développement. - 15. ♂ holotype (= ♂  $4n$ ),  $e = 60 \mu\text{m}$ . - 16. ♂  $3n$ ,  $e = 60 \mu\text{m}$ . - 17. ♂  $2n$ ,  $e = 51 \mu\text{m}$ . - 18. ♀ st. 2,  $e = 46 \mu\text{m}$ .

**Tergite 10 :**  $L/1 = 1,61$  en moyenne (v. ex. = 1,54-1,74), 1,56 chez le ♂ holotype; 6+1+6  $M$  ( $M_1$  nuls) longs, le  $M_4$  droit manque chez la ♀ st.4; 4+4  $s$  ( $s_4$  nulles) courtes, la  $s_1$  droite est nulle chez la ♀ st.1; le phanère situé entre  $M_7$  et  $s_2$  peut être interprété comme un  $M_4$  qui est typiquement inséré au-dessus de la ligne joignant  $M_7$  et  $s_2$ , ce qui le place entre  $M_2$  et  $M_7$ , ou bien comme une  $s_3$  typiquement située presque exactement entre  $M_7$  et  $s_2$ ; sur certains individus, ce phanère peut être considéré comme un  $M_4$  à droite et comme une  $s_3$  à gauche ou inversement. Toutes les combinaisons sont possibles entre 6+6  $M$  et 4+4  $s$  ou 5+5  $M$  et 3+3  $s$ .

**Longueurs relatives des segments 8 à 10 :** 63-33-100 en moyenne; ♂ holotype: 61-33-100; ♂  $2n$ : 61-29-100; ♀ st.1: 64-35-100; ♀ st.4: 64- 29-100.

**Acropyge :** triangulaire, simple, aussi long que large à la base; chez le ♂ holotype il est beaucoup plus large que long, à sommet bifide et très en avant de la ligne joignant les condyles d'articulation des cerques; il ne s'agit pas d'un artefact, cet individu ayant été préparé et monté exactement comme tous ceux de la série; ceci est à rapprocher de ce que SILVESTRI (1929) représente chez son *P. (P.) dorianus* ou moi-même chez *P. (P.) genavensium* (PAGÉS 1978).

**Sternite 1 :** Préscutum: chétotaxie typique, la soie médiane peut être absente. Scutum: les 10+10  $M$  typiques assez longs,  $M_5$ ,  $M_6$  et  $M_9$  un peu moins longs que les autres; 1+2+1  $s$  ( $c$  nulles); 8+8 soies disposées sur deux rangées en avant des organes subcoxaux latéraux; on peut observer jusqu'à 4 soies supplémentaires à droite ou à gauche de la ligne médiane: 1 entre  $M_1$  et  $M_2$ , 1 entre  $M_5$  et  $b$ , 1 ou 2 entre  $M_9$  et  $b$ .

**Organes subcoxaux latéraux :** ils occupent chacun environ le 1/3 de la largeur interstylière et sont peu saillants; de 14 à 22 soies glandulaires disposées sur une seule rangée, en moyenne  $SG/st_1 = 1$  (v. ex. = 0,96-1,04); 4 à 7 soies sensorielles régulièrement espacées,  $SS/st_1 = 0,6$  en moyenne (v. ex. = 0,50-0,64);  $SG/SS = 1,90$  chez l'holotype, 1,61 en moyenne chez les autres exemplaires.

La partie médiane postérieure du sternite porte les 1+1 minuscules soies typiques.

**Sternites 2 à 7 :** Présutum: les 5+1+5 soies typiques assez longues. Scutum: les 12+12 *M* typiques assez longs, 4+3+4 *s*, la *c* peut faire défaut comme au sternite 1.

**Styles :** typiques du genre, le cône secondaire aigu, égal aux 2/5 de la longueur du cône principal; aux  $st_{1-3}$  la soie recourbée (*s'*) est subégale à la soie droite (*s*);  $s_1/st_1 = s'_1/st_1 = 0,47$ ;  $s_1/st_7 = 0,38$ ;  $s_7/st_7 = 0,34$ ;  $st_1/st_7 = 0,83$ .

**Vésicules exsertiles :** typiques du genre.

**Hypopyge :** Chez le  $\delta_{4n}$ , il occupe les 8/10 de la largeur intercondyloire et on constate que comme pour l'acropyge, l'allongement vers l'arrière des bords latéraux du segment 10 portant les condyles d'articulation des cerques amène une déformation remarquable de l'hypopyge, semblable à celle décrite par SILVESTRI (1929) chez son *dorianus*; chez les autres spécimens l'hypopyge est saillant comme c'est la règle, occupant environ les 3/4 de la largeur intercondyloire, à sinus largement ouvert, à bords présentant des dents irrégulières.

**Papille génitale  $\delta$  :** j'ai défini dans ma note de 1975 sur *Parajapyx (P.) botosaneanui*, 4 stades du développement postembryonnaire des  $\delta$  caractérisés par le nombre de soies présentes sur la papille génitale:  $\delta_1 = 6$  soies,  $\delta_2 = 12$  soies,  $\delta_3 = 14$  soies,  $\delta_4 = 16$  soies. Or, parmi les 3  $\delta$  reconnus ici, un a 12 soies, un autre 14 et le troisième en présente 10, ce qui le rend intermédiaire entre mes  $\delta_1$  et  $\delta_2$ . Je crois qu'il faut donc maintenant définir 5 stades dans le développement des  $\delta$  et modifier par conséquent la nomenclature précédente. Si l'on part toujours d'un  $\delta_1$  à 6 soies (1+1 latérales, 1+1 submédianes antérieures et 1+1 submédianes postérieures), le nouveau  $\delta_2$  possédant 10 soies s'obtient par dédoublement des soies submédianes antérieures et postérieures, ce qui donne 1+1 soies sublatérales antérieures et 1+1 soies sublatérales postérieures; pour le nouveau  $\delta_3$  c'est le dédoublement des 1+1 soies latérales qui donne bien 12 soies; quant aux 1+1 soies supplémentaires du  $\delta_4$ , elles proviennent du dédoublement des 1+1 soies sublatérales antérieures, ce qui corrobore ce que j'écrivais pour *botosaneanui*: "les nouvelles soies apparaissent dans les angles latéraux de l'orifice génital, médialement par rapport aux soies latérales"; enfin le  $\delta_5$  voit cette fois le dédoublement des 1+1 soies sublatérales postérieures. En résumé, la nouvelle succession des stades postembryonnaires des  $\delta$  de *Parajapyx* s'établit ainsi:

$\delta_{1n} = 6$  soies;  $\delta_{2n} = 10$  soies;  $\delta_{3n} = 12$  soies;  $\delta_{4n} = 14$  soies;  $\delta_{5n} = 16$  soies. On a donc les équivalences suivantes entre la nouvelle nomenclature  $\delta_{xn}$  et l'ancienne  $\delta_x$ :

$$\delta_{1n} = \delta_1, \delta_{2n} \text{ nouveau}, \delta_{3n} = \delta_2, \delta_{4n} = \delta_3, \delta_{5n} = \delta_4.$$

**Papille génitale ♀** : typique de la famille. En 1952a, grâce à l'abondant matériel en ma possession, mais ne comprenant que des individus pourvus de cerques indurés, j'ai défini 1 stade asexué st.I et 4 stades du développement post-embryonnaire des ♀, st.II à st.V caractérisés par le plus ou moins grand développement du canal antérieur de la spermathèque. Or en 1961, SMITH découvre des pontes de *P. (P.) isabellae* et peut ainsi décrire les 2 premiers stades suivant l'éclosion. Il faut donc considérer que chez les Parajapygidés et les Japygidés existent 3 stades asexués dont le troisième possède des cerques indurés; il s'ensuit que logiquement, mon st.I doit être dénommé st.III par analogie avec celui des Japygidés; l'absence de trichobothries antennaires ne permet pas de le subdiviser en A ou B. La succession des stades chez les ♀ doit être lui aussi modifié pour 2 raisons: tout d'abord, la ♀ de 1,55 mm ne possède qu'une seule et unique soie sur chacune des valves supérieures, aucun autre phanère sur la papille et la spermathèque est indiscernable; vu la taille de l'individu, je ne crois pas qu'il s'agisse d'une régression temporaire, mais du premier stade reconnaissable du développement postembryonnaire des ♀; je le nomme st.1. La deuxième raison est l'extraordinaire développement de la spermathèque des ♀ de *P. (G.) reniformis* n. sp. décrite plus loin (p. 892). En conclusion, je propose la succession suivante des stades ♀ (avec entre parenthèses l'ancienne notation): st.1 nouveau, st.2 (= st.II), st.3 (= st.III), st.4 (= st.IV), st.5 (= st.V) et st.6 nouveau.

#### CERQUES

Aussi longs en moyenne que les 4/5 de la partie normalement découverte du tergite 10,  $L_{cq}/L_{10d} = 0,8$  (v. ex. = 0,77-0,82); environ 2 fois 1/5 aussi longs que larges à la base;  $L/l = 2,14$  (v. ex. = 2,05-2,27); leur largeur au niveau de la  $d_3$  égale en moyenne le 1/3 de leur longueur, le  $1d_3/1cq = 0,58$  chez le ♂ holotype alors qu'il est en moyenne égal à 0,73 (v. ex. = 0,70-0,76) chez les paratypes. Un sinus peu profond entre  $d_1$  et  $d_3$  chez les paratypes, plus net chez l'holotype.

**Marges internes** : celles du ♂<sub>2n</sub> et des ♀ sont semblables; toutes les dents sont aiguës, à sommet dirigé vers la base du cerque;  $d_3$  la plus forte, les autres plus petites subégales;  $d_1$  avec un très faible épaulement postérieur, obsolète chez le ♂<sub>2n</sub>; seule la  $d_3$  montre un épaulement postérieur net; en faisant l'intervalle  $d_1-d_2$  égal à 100 ceux entre les dents et entre  $d_5$ -apex du cerque sont en moyenne comme 100-96-62-59-170; il faut noter qu'il n'y a jamais une symétrie parfaite entre les 2 cerques d'un même individu, mais les écarts sont minimes; les plus grands se rencontrent chez le ♂<sub>2n</sub>: 100-105-63-63-168 au cerque droit, 100-90-60-60-173 au gauche. Les marges internes des 2 autres ♂ sont bien différentes par la forme de la  $d_1$  d'une part, et d'autre part, par le déplacement des  $d_3$  à  $d_5$  les unes vers les autres et vers l'apex du cerque: chez le ♂<sub>3n</sub> la  $d_1$  devient prépondérante, son sommet est saillant et arrondi, la  $d_2$  s'aplatit et ne forme plus qu'une légère élvure mousse, peut saillante sur le sinus, les  $d_3$  à  $d_5$  sont identiques à celles des ♀, et les intervalles sont comme 100-93-37-33-96 au cerque droit et comme 100-81-26-29-90 au gauche.

Chez le ♂<sub>4n</sub> il y a une déformation remarquable des deux  $d_1$  qui s'allongent vers l'apex du cerque, le sommet reste arrondi; elles ont le même aspect que celle du

seul cerque gauche de *P. (P.) dorianus* Silv.; les  $d_2$  sont réduites à de minuscules tubercules arrondis, les  $d_3$  à  $d_5$  sont assez semblables à celles des ♀, mais à sommet moins aigu; les intervalles sont comme: 100-74-23-23-54 au cerque droit et comme 100-72-21-23-62 au gauche, on voit bien le tassement vers l'apex des cerques des  $d_3$  à  $d_5$ .

**Plaques d'évaporation:** les ♀ et le ♂<sub>2n</sub> ne montrent qu'une seule plaque d'évaporation assez grande située sur une ligne joignant  $M_3$  à  $c$  et près de cette dernière; le ♂<sub>3n</sub> en possède 1 à gauche et 2, plus ou moins jointives, à droite, quant au ♂<sub>4n</sub> il en présente 3 à droite et 4 à gauche assez petites; chez ces 2 ♂ les plaques tendent à se déplacer d'une part vers la minuscule soie insérée au niveau de  $d_2$  et, d'autre part, vers la marge interne du cerque. La présence d'une seule plaque d'évaporation ne peut donc plus être considérée, à elle seule, comme indiquant un stade asexué; il faut tenir compte en outre de la présence d'une seule soie sur les préscutum des tergites 2 à 7 (PAGÉS 1952a).

**Chétotaxie:** les 10 *M* typiques présents,  $M_6$  courts, les autres, longs; 7 *s* courtes, les soies typiques *d* et *e* étant nulles.

#### AFFINITÉS

L'évolution de la marge interne des cerques des ♂ rapprocherait cette espèce, en premier lieu de *P. (P.) dorianus* Silv. par les modifications de la  $d_1$ , mais aussi le *bonetianus* Silv. (SILVESTRI 1948b), *kocheri* Pgs (PAGÉS 1954), *botosaneanui* Pgs (PAGÉS 1975) et *genavensium* Pgs (PAGÉS 1978) par le rejet vers l'apex des cerques des  $d_3$  à  $d_5$ . Le nombre d'articles antennaires, l'absence de *M* ou de *s* sur certains tergites, en particulier le dixième et, sur les cerques, la présence d'une seule plaque d'évaporation chez les ♀ et les ♂ jeunes caractérisent cette espèce.

#### DERIVATIO NOMINIS

Ce m'est un réel plaisir que de dédier cette remarquable espèce au Dr B. Hauser, Conservateur du Département des Arthropodes et d'Entomologie I au Muséum d'histoire naturelle de Genève. Grâce à ses nombreuses missions vouées avant tout à la récolte de la faune du sol de régions peu prospectées ou écologiquement sensibles, il a réuni, parmi d'autres, une très importante collection de Diploures dont d'innombrables Japygoidea, mes préférés. Invité il y a plus de vingt ans à venir étudier ce "trésor", j'ai pu apprécier la compétence, la grande gentillesse et la disponibilité totale de ce Collègue et ami.

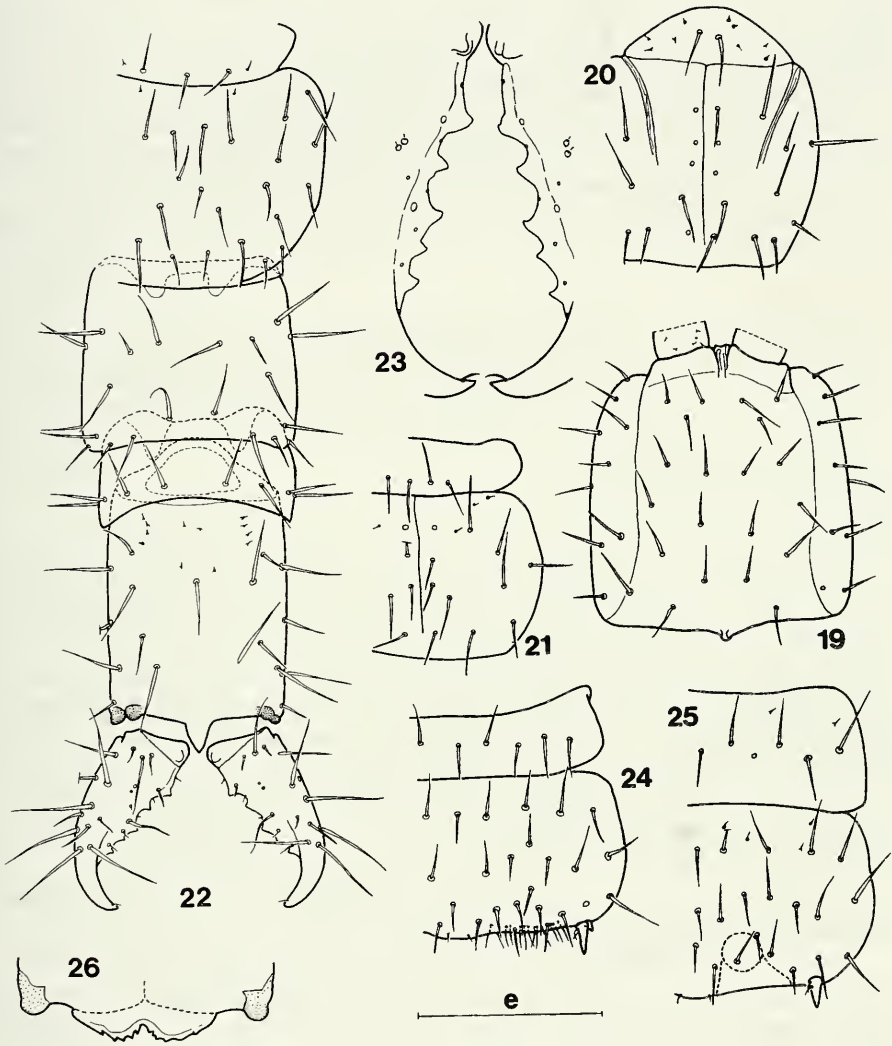
#### Parajapyx (Grassjapyx) temburong n. sp.

Figs 19-26

**Matériel étudié:** Bru-88/38: BRUNEI (Temburong District): "Peradayan Forest Reserve" (= "Bukit Patoi"), à 14,5 km de Bangar (= 2,5 km de Labu), forêt primaire ("Mixed dipterocarp forest"), prélèvement de sol dans les angles formés par les contreforts de grands arbres morts, 80 m; 24.XI.1988; leg. B. Hauser (B<sub>3</sub>); **holotype:** ♀ st. 4 de 2,35 mm.

#### TÊTE

**Vertex:** les 11+11 soies typiques assez courtes, aucune soies supplémentaires.



FIGS 19-26

*Parajapyx (Grassjapyx) temburong* n. sp., ♀ st. 4 holotype. - 19. Vertex, e = 126 µm. - 20. Mésonotum, e = 126 µm. - 21. Tergite 1, e = 126 µm. - 22. Tergites 7 à 10 et les cerques, e = 126 µm. - 23. Marges internes des cerques, e = 63 µm. - 24. Urosternite 1, e = 105 µm. - 25. Urosternite 3, e = 105 µm. - 26. Hypopyge, e = 84 µm.

Pli oral: typique.

Antennes: de 18 articles; chétotaxie typique du genre; 4 sensilles placôides sur l'article apical.

Pièces buccales: typiques du genre.

## THORAX

*Face tergale*

**Pronotum** : les 5+5 *M* typiques; 2+2 *s*, *s*<sub>1</sub> nulles.

**Mésnotum** : Préscutum: 1+1 *M* longs et 5-6+5-6 microsoies. Scutum: les 5+5 *M* typiques, *M*<sub>2</sub> et *M*<sub>5</sub> assez courts, les autres longs; 5+5 *s* typiques assez courtes; 2+2 soies supplémentaires dont 1+1 entre *s*<sub>1</sub> et *s*<sub>2</sub> et 1+1 entre *s*<sub>4</sub> et *s*<sub>5</sub>.

**Métanotum** : Préscutum: 2+2 *M*. Scutum: en tout point identique à celui du mésnotum.

*Face sternale*

**Chétotaxie** : typique, identique à celle de *P. (P.) isabellae*, sauf pour le préscutum du métasternum qui ne porte que 4+4 soies, la médiane étant absente.

**Pattes** : peu pileuses; 2+2 soies sternales aux tarsi dont les subapicales sont courbées et aiguës dépassant la griffe postérieure; celle-ci 1 fois 1/3 aussi longue que l'antérieure; unguiculus normal.

## ABDOMEN

**Tergite 1** : Préscutum: 2+2 *M* assez longs. Scutum: les 5+5 *M* typiques, *M*<sub>3</sub> assez longs, les autres longs; les 6+6 *s* typiques, les 3+3 postérieures assez longues, les 3+3 médianes courtes; pas de soies supplémentaires.

**Tergites 2 à 7** : Préscutum: les 1+1 *M* typiques assez courts. Scutum: les 8+8 *M* typiques, *M*<sub>1</sub>, *M*<sub>3</sub> et *M*<sub>4</sub> longs, les autres assez longs; *s*<sub>1</sub> et *s*<sub>5-7</sub> en paires typiques, *s*<sub>2</sub> et *s*<sub>3</sub> présentes d'un seul côté de la ligne médiane, en général l'une d'elles à droite et l'autre à gauche; 1+1 soies supplémentaires entre *s*<sub>6</sub> et *s*<sub>7</sub>.

**Tergite 8** : un peu moins de 1 fois 1/5 aussi large que long ( $1/L = 1,15$ ); 6+6 *M* longs (*M*<sub>5</sub> nuls); 4+4 *s* typiques (*s*<sub>2</sub> nulles), *s*<sub>3</sub> aussi longues que les *M*, les 3+3 autres courtes.

**Tergite 9** : 2 fois 1/5 aussi large que long; les 3+3 *M* typiques longs ou assez longs; ni *s*, ni soies supplémentaires.

**Tergite 10** : 1 fois 3/4 aussi long que large, à côtés parallèles; 6+6 *M* (*M*<sub>1</sub> nuls), *M*<sub>4</sub> courts, les autres longs ou assez longs; 3+3 *s* (*s*<sub>3</sub> et *s*<sub>4</sub> nulles), les remarques faites chez l'espèce précédente à propos du choix à faire entre *M*<sub>4</sub> et *s*<sub>3</sub> s'appliquent parfaitement ici.

**Longueurs relatives des segments 8 à 10** : 58-29-100.

**Acropyge** : en triangle isocèle très allongé, 1 dent sur le côté gauche.

**Sternite 1** : Préscutum: 4+1+4 soies assez longues. Scutum: les 10+10 *M* typiques. *M*<sub>3</sub> et *M*<sub>10</sub> plus longs que les autres qui sont assez longs; 1+2 soies typiques assez courtes (*c* nulles); 1+1 soies supplémentaires entre *M*<sub>5</sub> et *M*<sub>6</sub>; 7+7 soies assez courtes, unisériées en avant des organes subcoxaux latéraux.

**Organes subcoxaux latéraux** : peu saillants, ils occupent environ le 1/3 de la largeur interstylière; 16 soies glandulaires à droite, 15 à gauche, unisériées, toutes de même longueur,  $SG/st_1 = 0,77$ ; 5 soies sensorielles régulièrement espacées,  $SS/st_1 = 0,46$ ;  $SG/SS = 1,65$ .

La partie médiane postérieure du sternite porte les 1+1 minuscules soies typiques.

**S t e r n i t e s 2 à 7 :** Préscutum: 5+1+5 soies typiques longues, les 1+1 les plus externes les plus longues. Scutum: les 12+12 *M* typiques, *M*<sub>3</sub> et *M*<sub>8</sub> longs, les autres assez longs ou assez courts; 4+3+4 *s* typiques assez courtes ou courtes; une soie supplémentaire peut s'observer entre *M*<sub>5</sub> et *M*<sub>6</sub>.

**S t y l e s :** typiques du genre, le cône secondaire, aigu, aussi long que le 1/4 ou le 1/3 du cône principal qui est plutôt étroit; la soie recourbée (*s'*) des *st*<sub>1-3</sub> est à peine plus courte que la soie droite (*s*):  $s_1/st_1 = 0,38$ ;  $s'_1/st_1 = 0,35$ ;  $s_1/s_7 = 1,3$ ;  $st_1/st_7 = 0,90$ ;  $s_1/st_7 = 0,34$ .

**V é s i c u l e s e x s e r t i l e s :** typiques du genre.

**H y p o p y g e :** il occupe les 3/4 de la largeur intercondyloire, saillant, à sinus large et peu profond, orné de nombreuses dents aiguës.

**P a p i l l e g é n i t a l e :** typique d'une ♀ st.4.

#### CERQUES

Allongés, aussi longs que les 7/10 de la partie normalement découverte du tergite 10; un peu plus de 2 fois 1/3 aussi longs que larges à la base; leur largeur au niveau de la *d*<sub>3</sub> égale le 1/3 de la longueur d'un cerque et les 3/4 de sa largeur à la base.

**M a r g e s i n t e r n e s :** dents aiguës à sommet dirigé vers la base du cerque; *d*<sub>1</sub> et *d*<sub>3</sub> les plus fortes, les 3 autres subégales, petites; épaulements nuls; les intervalles entre les *d* et entre la *d*<sub>5</sub> et l'apex du cerque sont assez différentes d'un cerque à l'autre, à droite ils sont comme 100-120-78-53-240 et à gauche comme 100-83-67-61-211; cela peut indiquer que les *d* s'engrènent bien les unes dans les autres quand les cerques se referment; les fortes valeurs des intervalles *d*<sub>5</sub>-apex des cerques montrent que le crochet terminal du cerque est bien dégagé de la rangée des dents.

**P l a q u e s d ' é v a p o r a t i o n :** 2 petites plaques par cerques situées à l'intersection des lignes joignant *M*<sub>1</sub> à *M*<sub>5</sub> et *M*<sub>4</sub> à *c*.

**C h é t o t a x i e :** les 10 *M* typiques, *M*<sub>6</sub> courts, les autres longs; 7 *s* typiques, *d* et *e* étant nulles, apparemment comme chez toutes les espèces de ces régions.

#### AFFINITÉS

Cette espèce est surtout caractérisée par ses organes subcoxaux latéraux et ses cerques, ainsi que par quelques détails de la chétotaxie de l'abdomen. Proche de *P. (G.) sepilok* Pagés, les marges internes des cerques permettent de les différencier facilement.

#### DERIVATIO NOMINIS

Le District de Temburong est situé dans la partie N de l'Etat de Brunei, séparée de la partie S, la plus importante, par un étroit territoire appartenant au Sabah.

**Parajapyx (Grassjapyx) reniformis** n. sp.

Figs 27-37

**Matériel étudié:** Sar-87/37: INDONÉSIE: **Bali:** Ubud, "Monkey Forest", dans le virage de la route traversant la forêt, sous des pierres de la pente, 200 m; 30.XI.1987; leg. B. Hauser; **holotype:** ♀ st.6 de 2,22 mm. Sar-87/8: INDONÉSIE: **Java:** Bogor, Jardin Botanique, prélèvement de sol dans les angles formés par les contreforts de grands arbres près du "Guest House", env. 250 m; 24.XI.1987; leg. B. Hauser (B<sub>1</sub>); **paratype:** ♀ st.6. de 2, 20 mm.

## TÊTE

**Vertex et plioral:** chétotaxie typique.

**Antennes:** typiques de 18 articles peu pileux, sans aires pileuses différenciées; 4 sensilles placoides en position typique sur l'article apical.

**Pièces bucales:** typiques du genre.

## THORAX

*Face tergale*

**Pronotum:** 5+5 *M* typiques, *M*<sub>2</sub> et *M*<sub>5</sub> assez courts, les autres longs; 3+3 *s* typiques courtes, *s*<sub>1</sub> à mi-distance de *M*<sub>3</sub> et *M*<sub>4</sub>, *s*<sub>2</sub> et *s*<sub>3</sub> rapprochées l'une de l'autre, seules les *s*<sub>3</sub> sont à leur place normale.

**Mésonotum:** Préscutum: 1+1 *M* assez courts et 3+3 microsoies. Scutum: les 5+5 *M* typiques, *M*<sub>3</sub> les plus longs de tous, *M*<sub>5</sub> les plus courts, les autres subégaux, longs; les 5+5 *s* typiques assez courtes; 1+1 soies supplémentaires entre les *s*<sub>1</sub> et *s*<sub>2</sub>, celle de droite nulle chez la ♀ de Java qui présente une soie supplémentaire à droite entre *M*<sub>2</sub> et *s*<sub>2</sub>.

**Métanotum:** Préscutum: 2+2 *M* assez longs et 6+6 microsoies. Scutum: les 5+5 *M* typiques, *M*<sub>3</sub> longs, *M*<sub>5</sub> courts, les autres subégaux et assez longs; la ♀ de Bali possède les 5+5 *s* typiques et 3+3 soies supplémentaires entre les *s*<sub>1</sub> et *s*<sub>2</sub>, *M*<sub>2</sub> et *s*<sub>2</sub>, *s*<sub>4</sub> et *s*<sub>5</sub>; chez la ♀ de Java, on note que si ces 2 dernières paires de soies supplémentaires sont présentes et les *s*<sub>2</sub> nulles, il y a 2+2 soies supplémentaires, 1+1 entre les *M*<sub>5</sub> et la seconde paire de soies supplémentaires de la ♀ de Bali et 1+1 entre les *s*<sub>4</sub> et les soies supplémentaires postérieures; tous ces phanères sont assez courts.

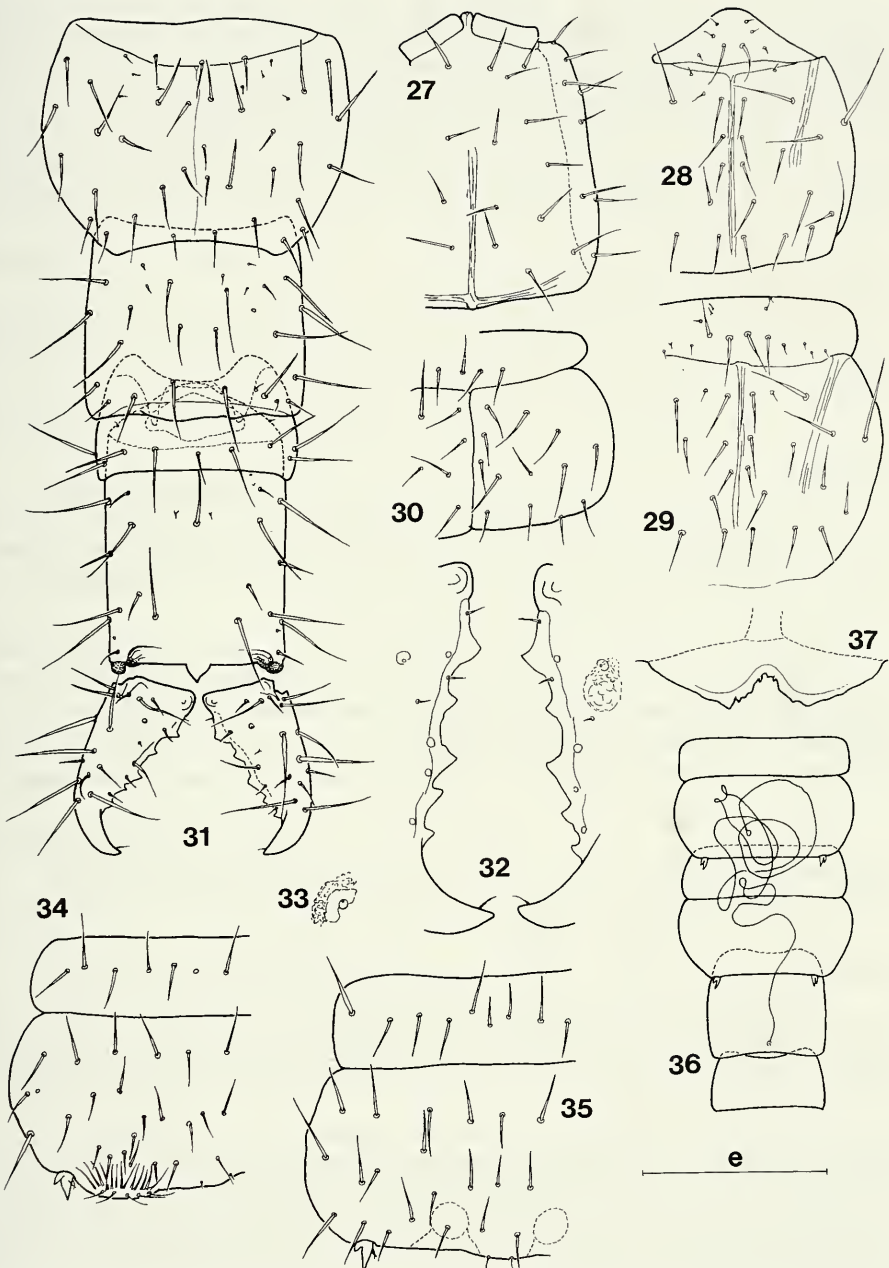
*Face sternale*

**Chétotaxie:** identique à celle de *P. (P.) isabellae*, sauf pour les aires infracoxales des sternites des méso- et métasternum qui portent chacune 4 soies dont 1 supplémentaire entre les 2 postérieures; en outre, on observe une petite soie supplémentaire dans la rangée antérieure de la plage médiane des mêmes sternites.

**Pattes:** peu pileuses; 2+2 soies sternales aux tarsi, les subapicales sont aiguës, atteignant au plus le milieu des griffes qui sont typiques; unguiculus petit, aigu.

## ABDOMEN

**Tergite 1:** Préscutum: 2+2 *M* assez longs. Scutum: les 5+5 *M* typiques assez longs, les *M*<sub>4</sub> un peu plus développés que les autres, *M*<sub>2</sub> les plus courts; les 6+6 *s* typiques assez courtes, la *s*<sub>3</sub> droite manque chez la ♀ de Java; 1+1 soies supplémentaires entre *M*<sub>4</sub> et *M*<sub>5</sub> et une autre paire entre *s*<sub>5</sub> et *s*<sub>6</sub>.



FIGS 27-37. *Parajapyx (Grassjapyx) reniformis* n. sp., ♀ st. 6, holotype. - 27. Vertex, e = 126  $\mu$ m. - 28. Mésonotum, e = 126  $\mu$ m. - 29. Métanotum, e = 126  $\mu$ m. - 30. Tergite 1, e = 126  $\mu$ m. - 31. Tergites 7 à 10 et les cerques, e = 126  $\mu$ m. - 32. Marges internes des cerques, e = 63  $\mu$ m. - 33. Plaque d'évaporation du cerque gauche, e = 32  $\mu$ m. - 34. Urosternite 1, e = 105  $\mu$ m. - 35. Urosternite 3, e = 105  $\mu$ m. - 36. Canal de la spermatèque caractéristique du st. 6, e = 238  $\mu$ m. - 37. Hypopyge, e = 51  $\mu$ m.

**Tergites 2 à 7 :** Préscutum: les 1+1+1 *M* typiques. Scutum: les 8+8 *M* typiques, *M*<sub>6</sub> assez courts, les autres longs ou assez longs; les 7+7 *s* typiques présentes, assez courtes, *s*<sub>1</sub> et *s*<sub>6</sub> les plus longues, une des *s*<sub>3</sub> manque le plus souvent chez la ♀ de Java; 1+1 soies supplémentaires entre *M*<sub>2</sub> et *M*<sub>8</sub> et une autre paire entre *s*<sub>6</sub> et *s*<sub>7</sub>.

**Tergite 8 :** à peine plus large que long chez la ♀ de Java, chez celle de Bali 1/L = 1,20; 6+6 *M* longs, *M*<sub>3</sub> les plus longs, *M*<sub>5</sub> nuls; 3+3 *s* (*s*<sub>2</sub> et *s*<sub>5</sub> nulles), *s*<sub>3</sub> longues, *s*<sub>1</sub> et *s*<sub>4</sub> courtes, *s*<sub>1</sub> nulles chez la ♀ de Java; 1+1 soies supplémentaires courtes entre *M*<sub>1</sub> et *M*<sub>3</sub> et 1+1 entre *M*<sub>1</sub> et *M*<sub>7</sub>.

**Tergite 9 :** entre 1,70 et 2 fois aussi large que long; les 3+3 *M* typiques longs; seules les *s*<sub>1</sub> sont présentes et longues.

**Tergite 10 :** en moyenne 1 fois 3/4 aussi long que large; 6+1+6 *M* (*M*<sub>1</sub> nuls) longs; on constate la même ambiguïté entre *M*<sub>4</sub> et *s*<sub>3</sub> que chez *P. (G.) hauseri* n. sp.; il y a au plus 4+4 *s* (*s*<sub>4</sub> nulles) ou 3+3 si *s*<sub>3</sub> est nulle elle aussi.

**Longueurs relatives des segments 8 à 10 :** 65-35-100 en moyenne.

**Acropyge :** saillant, triangulaire, un peu plus long que large à la base.

**Sternite 1 :** Préscutum: 5+1+5 phanères longs à assez courts. Scutum: 8+8 *M*, *M*<sub>9</sub> et *M*<sub>10</sub> nuls, *M*<sub>5</sub> assez courts, les autres longs, les *M*<sub>8</sub> les plus développés; 1+2+1 *s* courtes; 1+1 soies supplémentaires entre *M*<sub>4</sub> et *M*<sub>8</sub> et 1+1 autres entre *M*<sub>5</sub> et *b*; 6-7 + 6-7 soies en avant des organes subcoxaux latéraux.

**Organes subcoxaux :** chacun occupe environ le 1/4 de la largeur interstylière et est relativement saillant; 15 soies glandulaires unisériées et 5 soies sensorielles régulièrement espacées à chaque organe chez les 2 exemplaires; SG/*st*<sub>1</sub> = 0,86, SS/*st*<sub>1</sub> = 0,60, SG/SS = 1,50 en moyenne.

La partie médiane postérieure du sternite porte les 1+1 minuscules soies habituelles.

**Sternites 2 à 7 :** Préscutum: 5+5 soies longues, la médiane est plutôt courte et est dédoublée chez la ♀ de Bali. Scutum: les 12+12 *M* typiques longs; 4+2+4 *s* typiques, les *c* étant nulles; à noter que le sternite 7 de la ♀ de Bali n'a pas de *s*<sub>3</sub>.

**Styles :** typiques du genre; la soie recourbée des *st*<sub>1-3</sub> est égale à la soie droite. *s*<sub>1</sub>/*st*<sub>1</sub> = 0,40; *s*'<sub>1</sub>/*st*<sub>1</sub> = 0,40; *s*<sub>1</sub>/*st*<sub>7</sub> = 0,32; *s*<sub>7</sub>/*st*<sub>7</sub> = 0,40; *st*<sub>1</sub>/*st*<sub>7</sub> = 0,80.

**Vésicules exsertiles :** typiques du genre.

**Hypopyge :** Il occupe le 3/4 de la largeur intercondylière, saillant à sinus médian largement ouvert et à bords ornés de tubercules plus ou moins développés, ceux du fond du sinus aigus.

**Papille génitale ♀ :** Typique du genre; chez la ♀ de Bali, le canal de la spermathèque est extraordinairement long formant un peloton lâche logé dans l'urite 6. Les circonvolutions de la spermathèque sont un peu moins complexes chez la ♀ de Java. C'est la première fois que j'observe un tel développement de ce canal qui caractérise à mon avis un st.6 qui est pour l'instant le stade le plus "âgé" des ♀ du genre *Parajapyx* (cf. p. 887).

#### CERQUES

Leur longueur est égale à un peu moins des 3/4 de la partie normalement découverte du tergite 10, assez élancés, ils sont 2 fois (♀ de Bali) à 2 fois 1/4 (♀ de

Java) aussi longs que larges à la base; leur largeur au niveau de la  $d_3$  égale un peu moins des 2/5 de leur longueur et les 4/5 de leur largeur à la base.

**M a r g e s i n t e r n e s :** les dents sont aiguës à sommet dirigé vers la base;  $d_1$  et  $d_3$  les plus fortes, les 3 autres subégales; pas d'épaulements antérieurs ou postérieurs nets; les intervalles entre les  $d$  et l'apex du cerque sont comme 100-88-77-63-154 en moyenne; on constate que la  $d_5$  est plus proche de l'apex du cerque à droite qu'à gauche:  $d_5$ -apex = 142 au cerque droit des 2 spécimens, alors que pour le cerque gauche, cet intervalle est de 163 chez l'exemplaire javanais et de 170 chez le balinais.

**P l a q u e d ' é v a p o r a t i o n :** d'un type inédit; on observe une surface réniforme lisse; au milieu de son bord concave s'ouvre un pore glandulaire qui est le débouché d'un canal à bords épaissis visible par transparence; la fig. 32 montre la petite masse de sécrétion, coagulée par le fixateur, issue de la (ou des) cellule(s) glandulaire(s) associée(s) à la plaque d'évaporation du cerque droit.

**C h é t o t a x i e :** les 10+10  $M$  typiques,  $M_2$ ,  $M_5$  et  $M_6$  assez courts ou courts, les autres longs; 5+5  $s$  typiques,  $d$  et  $e$  nulles; à noter que je considère le phanère situé dans le triangle formé par  $M_5$ ,  $M_7$  et  $h$  comme un  $M_6$  uniquement parce qu'il est inséré en dessous de la ligne joignant  $M_5$  et  $i$  et sur celle joignant  $f$  et  $i$ , la soie  $e$  se plaçant typiquement au dessus de la ligne  $M_5$ - $i$  et plus près de  $M_7$  que de  $M_8$ .

#### AFFINITÉS

Par l'allure générale de ses cerques, *P. (G.) reniformis* n. sp. rappelle *P. (G.) sepilok* du Sabah. On séparera sans difficulté ces 2 espèces par des détails de la chétotaxie tergale, la forme et la disposition des dents des cerques et avant tout par la plaque d'évaporation qui est d'un type jusqu'à présent unique chez les Parajapygides.

#### DERIVATIO NOMINIS

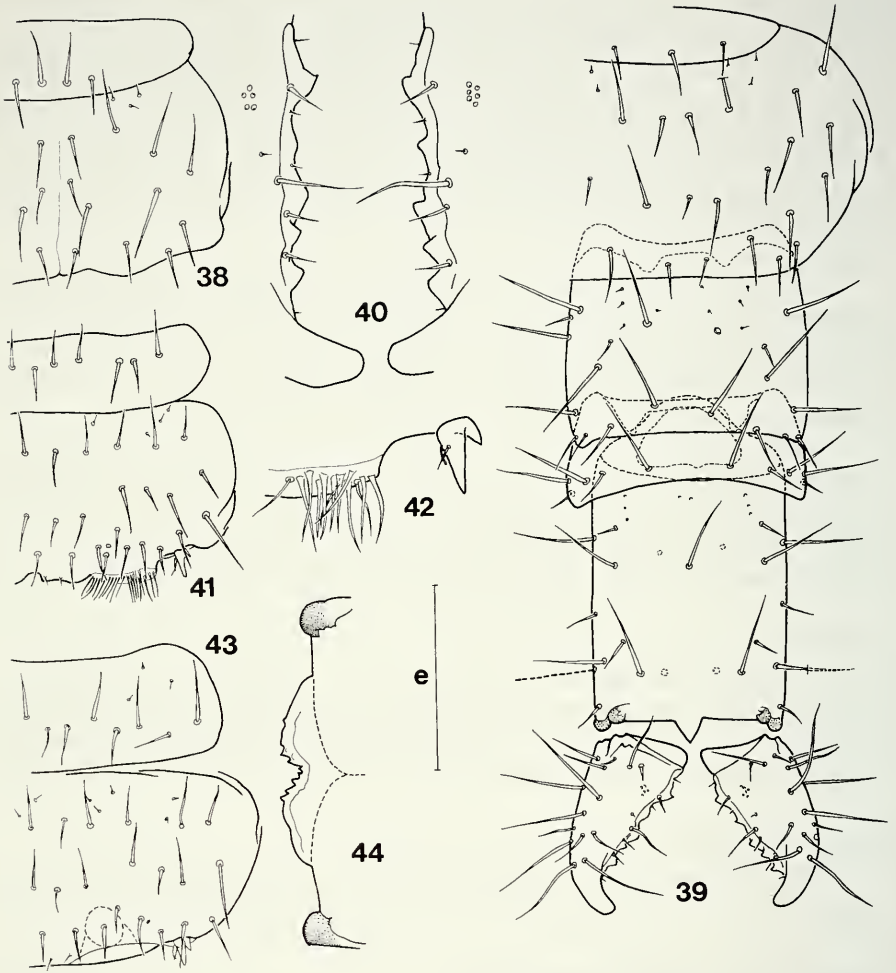
Allusion à la forme très particulière de l'unique plaque d'évaporation des cerques.

#### Parajapyx (Grassjapyx) sabahnus Pagés

Figs 38-44

**M a t é r i e l é t u d i é :** Bru-88/70: SINGAPOUR: Sentosa Island (partie orientale), forêt près de la "Earth Satellite Station", prélèvement de sol dans les angles formés par les contreforts d'un grand arbre, 70 m; 6.XII.1988; leg. B. Hauser (B<sub>4</sub>); 3 ♀ st.3 de 2,17 mm, 2,34 mm et 2,54 mm.

Ces exemplaires correspondent parfaitement à la description de cette espèce du Sabah (PAGÉS 1987). La chétotaxie tergale, les rapports 1/L et L/1 des segments abdominaux et des cerques entrent dans les limites de variations de l'espèce; les intervalles entre les dents sont en moyenne un peu plus faibles que chez les spécimens du Sabah: 100-90-65-63, au lieu de 100-87-70-68, mais ces nombres entrent aussi dans les limites de variations rencontrées au Sabah. Le fait le plus remarquable est que les exemplaires de Singapour ont les  $d_3$  à  $d_5$  et l'apex des cerques émoussés comme ceux de la ♀ st.3 de 2,1 mm du Sabah. Comme je le laissais entendre en 1987,



FIGS 38-44. *Parajapyx (Grassjapyx) sabahnus* Pagés, ♀ st. 3 de 2,54 mm. - 38. Tergite 1, e = 112  $\mu$ m. - 39. Tergites 7 à 10 et les cerques, e = 112  $\mu$ m. - 40. Marges internes des cerques, e = 49  $\mu$ m. - 41. Urosternite 1, e = 112  $\mu$ m. - 42. Angle latéral de l'organe subcoxal gauche, e = 42  $\mu$ m. - 43. Urosternite 3, e = 112  $\mu$ m. - 44. Hypopyge, e = 63  $\mu$ m.

on ne peut donc pas expliquer cet aspect par une "usure" anormale des dents; le problème reste entier.

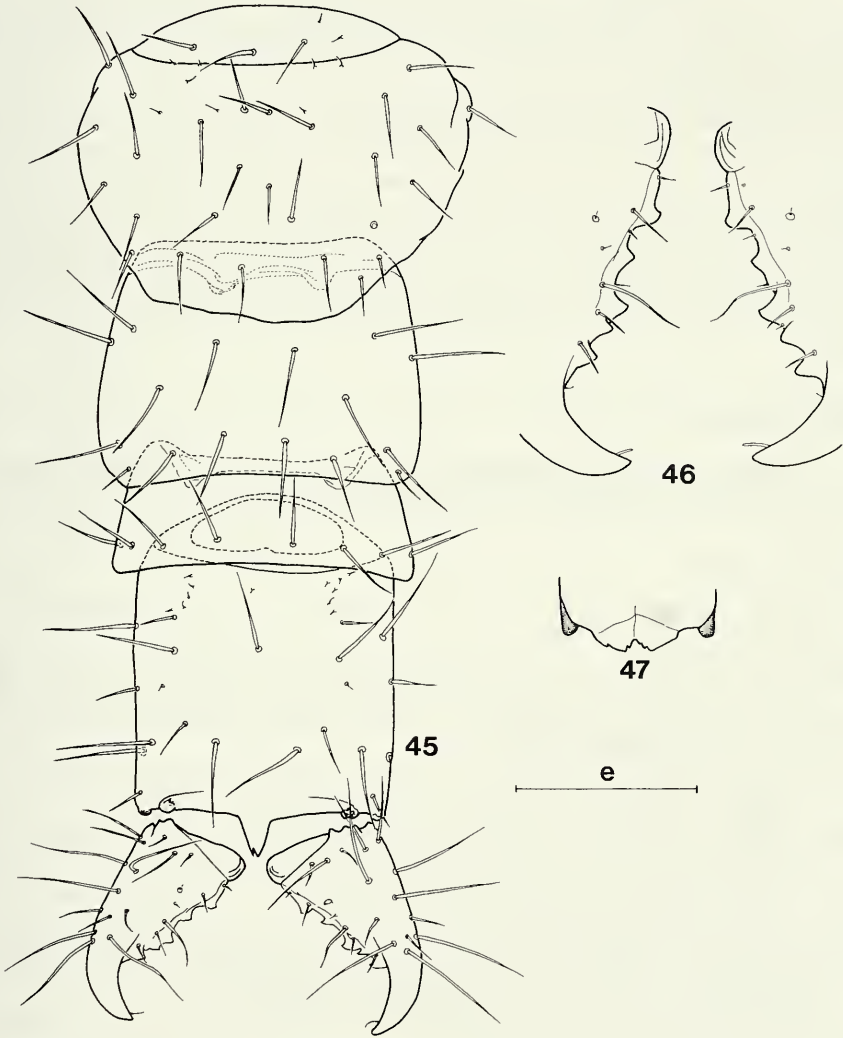
**Plaques d'évaporation** : très petites, mais plus nettes que chez les exemplaires du Sabah; au nombre de 4-5 par cerque, elles sont inscrites dans un trapèze dont les sommets sont les  $M_1$ ,  $M_3$ ,  $M_5$  et la soie  $c$  comme au Sabah.

**Chétotaxie** : caractérisée par l'absence des soies  $d$  et  $e$  et la brièveté des  $M_6$ .

**Parajapyx** (subgen. ?) sp.?

Figs 45-47

**M a t é r i e l é t u d i é :** Bru-88/32: BRUNEI (Belait District): "Labi Hills Forest Reserve", "Teraja", à 42 km au sud de Sungai Liang (= 12 km au Sud de Labi), environs de "Rumah Panjang" (= Longhouse du Kampong Teraja), forêt primaire ("Mixed dipterocarp forest"), prélèvement de sol dans les angles formés par les contreforts d'un très grand arbre, 40 m; 22.XI.1988; leg. B. Hauser (B<sub>2</sub>); 1 ♀ st.3 de 1,80 mm.



FIGS 45-47

*Parajapyx* (subgen. ?) sp.?, ♀ st. 3. - 45. Tergites 7 à 10 et les cerques, e = 79 µm. - 46. Marges internes des cerques, e = 45 µm. - 47. Hypopyge, e = 105 µm.

Cet exemplaire possède des cerques dont les caractéristiques ambiguës me font hésiter à le classer spécifiquement.

Les cerques sont nettement plus trapus que chez les espèces précédentes et se rapprocheraient de ceux de *P. (G.) sabahnus*, mais la forme de la  $d_2$  et la présence d'une seule plaque d'évaporation située sur une ligne joignant  $M_5$  et  $c$  l'en écartent incontestablement.

Ces 2 caractéristiques se retrouvent chez *P. (P.) hauseri*, mais si les chétotaxies sont semblables, l'absence d'un sinus entre  $d_1$  et  $d_3$ , même aussi peu marqué que chez la ♀ st.2 de *P. hauseri*, et l'aspect plus trapus des cerques rendent ce rapprochement difficile.

Les intervalles entre les dents des cerques de cet exemplaire sont comme 100-107-73-80-213 à droite et comme 100-94-59-65-212 à gauche, valeurs voisines de celles rencontrées chez *P. (G.) temburong*, mais cette dernière espèce a des cerques beaucoup plus élancés et de petites plaques d'évaporation situées elles aussi, il est vrai, sur une ligne joignant  $M_5$  et  $c$ , enfin les acropyges sont identiques, présentant une dent sur le côté gauche. Je ne crois ni utile, ni souhaitable de créer un taxon nouveau en l'absence d'autres exemplaires, en particulier de ♂ provenant de la même station.

## REMERCIEMENTS

Je tiens à remercier Mme M. Krähenbühl qui a dû dactylographier mon manuscrit et M. G. Roth qui a reproduit sur calque mes dessins originaux.

## BIBLIOGRAPHIE

- CHOU, I. 1966. Studies on Japygidae IV (Insecta: Diplura). *Acta Zootaxonomica Sinica* 3: 115-119.
- EWING, H. E. 1941. New North American genera and species of Apterygotan Insects of the Family Japygidae. *Proceedings of the Entomological Society of Washington* 43: 69-75.
- NAKAMURA, O. 1994. Diplura (Insecta) from the Northern Mariana Islands, Micronesia. *Natural History Research, Special Issue* 1: 219.
- PAGÉS, J. 1952a. Parajapyginae (Insecta, Entotrophi, Japygidae) de l'Angola. *Publicações Culturais da Companhia de Diamantes de Angola* 13: 53-96.
- PAGÉS, J. 1952b. Contribution à l'étude des Japygidae (Insecta, Entotrophi) d'Algérie et de Tunisie. *Bulletin de la Société Zoologique de France* 77: 125-148.
- PAGÉS, J. 1954. Parajapyginés (Diploures Japygidés) du Maroc et du Sahara. *Bulletin de la Société des Sciences Naturelles du Maroc* 33: 129-144.
- PAGÉS, J. 1975. Un Parajapygidé inédit des plages de la côte caraïbe de Cuba récolté par Mr L. Botosaneanu au cours de la seconde expédition biospéléologique cubano-roumaine à Cuba en 1973. *International Journal of Speleology* 6: 339-352.
- PAGÉS, J. 1978. *Dicellurata Genavensia* IV. Espèces inédites de Japygoidea du Guatemala. *Revue suisse de Zoologie* 84: 807-814.
- PAGÉS, J. 1987. *Dicellurata Genavensia* XIV. Japygoidea du Sud-Est asiatique No 5. *Revue suisse de Zoologie* 94: 41-47.
- SILVESTRI, F. 1913. On some Thysanura in the Indian Museum. *Record of the Indian Museum* 9: 51-62.

- SILVESTRI, F. 1928. Japygidae (Thysanura) dell'Estremo Oriente. *Bolletino del Laboratorio di Zoologia Generale e Agraria della R. Scuola Superiore d'Agricoltura, Portici* 22: 49-80.
- SILVESTRI, F. 1929. Nuevos Parajapiginos de Africa (Thys. Japygidae). *Memorias de la Real Sociedad Española de Historia Natural* 15: 221-235.
- SILVESTRI, F. 1930. Contribuzione alla conoscenza degli Japygidae (Thysanura) della regione Australiana. *Bolletino del Laboratorio di Zoologia Generale e Agraria della R. Scuola Superiore d'Agricoltura, Portici* 23: 210-226.
- SILVESTRI, F. 1948a. Intorno ad alcune anomalie di Japygidae (Insecta, Diplura). *Bolletino del Laboratorio di Entomologia Agraria di Portici* 8: 209-213.
- SILVESTRI, F. 1948b. Specie di Japygidae (Insecta Diplura) finora raccolti nel Messico. *Bolletino del Laboratorio di Entomologia Agraria di Portici* 8: 297-320.
- SMITH, L. M. 1961. Japygidae of North America, 8. Postembryonic development of Parajapyginae and Evalljapyginae (Insecta, Diplura). *Annals of the Entomological Society of America* 54: 437-441.
- WOMERSLEY, H. 1934. On the Australian species of Japygidae. *Transactions of the Royal Society of South Australia* 58: 37-47.
- WOMERSLEY, H. 1945. New species of Diplura (Insecta, Apterygota) from Australia and New Guinea. *Transactions of the Royal Society of South Australia* 69: 223-228.
- XIE, R. & YANG, Y. 1990. A new species of *Parajapyx* from Xishuangbanna, China (Diplura: Japygidae). *Contributions from Shanghai Institute of Entomology* 9 (1989-1990): 189-192.
- XIE, R., YANG, Y. & YIN, W. 1990. A new species of *Parajapyx* from the Tianmu Mountain, China (Diplura: Japygidae). *Contributions from Shanghai Institute of Entomology* 8 (1988): 229-233.
- ZIMMERMAN, E. C. 1948. Order Diplura Börner, 1904. *Insects of Hawaii* 2: 38-42.
- ZWALUWENBURG, R. H. VAN, 1934. *Parajapyx isabellae*, *Proceedings of the Hawaiian Entomological Society* 8: 382.